

새時代를 여는 新素材

아모퍼스 金屬의 超電導性, 磁氣的 및 热的特性

Superconductive, Magnetic and Thermal
Properties of Amorphous Metal

李根喆

大韓電氣協會誌 編修委員·工學博士

1. 序論

아모퍼스(非晶質) 金屬의 超電導特性에 관한 연구는 Buckel과 Hilsch氏가 極低温으로 冷却한 基板에 真空蒸着해서 얻은 Bi, Ga薄膜에 대하여 超電導 臨界溫度 T_c 의 測定을 行한 것이 最初였다.

그後 Sn, Pb, In, Ti등의 非遷移金屬이나 合金에 대하여 同一한 方法으로서 아모퍼스膜을製作하여 超電導 에너지 캡을 測定하였으나 이들 蒸着薄膜의 거의 대부분은 室温까지는 温度上昇에 의해서 結晶化되었으며 얻어진 情報도 매우 制約을 받았다.

그러나 最近에는 스퍼터링이나 融體로부터 急冷法 등으로서 遷移金屬을 主成으로 하여 아모퍼스 超電導체를 만들고 있으며 이들은 室温에서 充分히 安定되므로 T_c 이외에도 臨界磁界 H_{c2} 나 臨界電流密度 J_c 의 測定도 行하고 있다.

이와 같은 기초적인 연구와 더불어 아모퍼스 超電導体의 實用可能性에 대하여 檢討하고 있으며 또한 아모퍼스 상태로부터 특성이 우수한 結晶相을 變態析出시키는 方法도 最近에는 實用的으로 脚光을 받고 있다.

현재 알려져 있는 아모퍼스 합금에는 금속一半金屬系, 금속一金屬系가 있으며 원소 주기율표에 있는 금속 대부분의 금속원소는 合金化에 의해서 아모퍼스化 되어 있다.

아모퍼스化에 의한 超電導 臨界溫度 T_c 의 變化는 非遷移金屬과 遷移金屬間에 매우 다른 舉動을 나타내므로 이를 概略的으로 說明하고 아울러 磁氣的, 热的性質 등에 대하여 言及하고자 한다.

가. 非遷移金屬

표 1은 非遷移金屬 아모퍼스相의 T_c 와 比較하기 위하여 結晶狀態의 T_c 를 나타낸다. 오히

〈표 1〉 非遷移金屬과 金屬의
超電導監界溫度 T_c (K)

金 屬	아모퍼스	結 晶
Be	10	0.026
Al	6	1.18
Ga	8.4	6.1 (β -Ga) 1.08 (β -Ga)
Bi	6.1	<0.05
$\text{Sn}_{40}\text{Cu}_{10}$	6.8	3.5
$\text{Pb}_{55}\text{Bi}_{45}$	7.0	8.4
$\text{In}_{50}\text{Sb}_{50}$	5.6	3.4
$\text{Tl}_{50}\text{Te}_{50}$	4.2	2.4

여 Al과 Be는 單體 그대로 非晶質化가 困難하
므로 合金으로부터의 外挿值가 된다.

이상으로부터 Pb 이외의 전부는 아모퍼스化에
의해서 T_c 가 上昇되며 이들 아모퍼스相은 室溫
까지는 温度上昇에 의해서 結晶化가 되나 특히
純金屬인 경우 結晶化溫度가 매우 낮고 Bi는 20
K에서 그리고 Ga는 15K에서 β -Ga로 結晶化
된다.

이와 같은 아모퍼스 狀態에서 超電導現象을 이해하기 위하여 먼저 電子一포논의 相互作用에 관한 정보를 얻는 것이 바람직하다.

또한 超電導狀態에서 電子一포논의 相互作用力を 實驗的으로 評價하기 위하여 종래 에너지 갭 $\Delta(0)$ 의 측정이 많이 이용되고 있으며 특히 아모퍼스 薄膜에 대한 超電導 터널效果나 遠赤外吸收에 의해서 比較的 容易하게 行할 수 있는 많은 測定法이 등장하고 있다.

표 2는 몇가지 測定例를 아모퍼스와 結晶狀態에 대하여 나타낸 것이나 非遷移金屬의 아모퍼스膜에 대해서는 $2\Delta(0)/kT_c = 4.4 \sim 5.0$ 의 값을 나타내고 있다. 弱結合의 超電導體에 대해서는 BCS理論에서 誘導된 $2\Delta(0)/kT_c$ 는 3.52

〈표 2〉 아모퍼스 및 結晶狀態에 있어서
 T_c 와 超電導 에너지 갭의 값

金 屬	아 모 퍼 스		結 晶	
	T_c (K)	$2\Delta(0)/kT_c$	T_c (K)	$2\Delta(0)/kT_c$
Pb	7.16 ± 0.02	4.63 ± 0.05	7.2 ± 0.02	4.61 ± 0.05
$\text{Pb}_{50}\text{Bi}_{50}$	6.91 ± 0.02	4.99 ± 0.05	7.99 ± 0.02	4.78 ± 0.15
$\text{Pb}_{50}\text{Bi}_{50}$	6.99 ± 0.02	5.00 ± 0.05	8.1 ± 0.05	4.95 ± 0.17
Ga	8.4 ± 0.1	4.5 ± 0.1	6.2 ± 0.1	3.97 ± 0.10
Ga	8.45 ± 0.07	4.35 ± 0.24	6.26 ± 0.07	3.87 ± 0.22
			to	
Ga		1.08	3.36	3.94 ± 0.20
Bi	6.11 ± 0.03	4.59 ± 0.06	<0.05	—
Nb, Ge	3.6 ± 0.1	3.5 ± 0.1	21.55	4.2
Nb, Sn	3.0 to 4.0	3.5	17.2	4.3
Nb	5.57 ± 0.05	3.63 ± 0.05	9.21	3.67
			9.2	3.93

였으며 또한 전형적인 強結合의 結晶에 있는 Hg의 값은 4.6이었다.

따라서 이들 非遷移金屬의 아모퍼스는 強結合의 超電導體에 屬한다고 생각해도 좋으며 터널效果의 측정에서 실험적으로 구하여진 Eliashberg函數 $\alpha^2 F(\omega)$ 로부터

$$\lambda = 2 \int \alpha^2 F(\omega) d\omega / \omega \dots \dots \dots \quad (1)$$

에 의해서 電子一포논의 相互作用 패러미터 λ 가 구해진다.

여기서 α^2 은 포논 周波數 ω 일 때 相互作用力을 나타내는 項이며 $F(\omega)$ 는 포논의 狀態密度이다.

한편 非遷移金屬의 아모퍼스와 結晶狀態에 대해서 實驗的으로 求한 $\alpha^2 F(\omega)$ 의 값은 매우 큰 差異가 있다는 것이 判明되었으며 특히 低周波數領域에서는 前者쪽이 높은 값을 갖는데 (1)식에서 計算된 λ 값도 아모퍼스 상태쪽이 크게 되며 많은 非遷移金屬에 대해서 $\lambda = 2$ 를 얻고 있

다.

이 값은 結晶狀態의 2倍에 가까우므로 強電子-포논相互作用이 있음을 알 수 있으며 結晶狀態에서 이미 强結合인 Pb를 除外하면 一般的으로 非遷移金屬을 아모퍼스化 하는 傾向이 있고 結晶狀態를 보다 높은 T_c 를 얻을 수 있다.

그러나 아모퍼스 狀態에서 이와 같은 强한 電子-포논의 相互作用 原因에 대해서는 반드시 明確한 것이 아니며 포논스펙트럼에 대해서는 中性子散亂 등과 같은 正確한 측정이 바람직하다.

한편 遷移金屬을 보면 아모퍼스化에 의한 T_c 의 變化는 元素에 의해서 크게 다르다.

Collver와 Hammond氏는 일련의 4d 또는 5d 遷移元素에 대해서 인접하는 元素끼리의 合金을 極低温으로 冷却한 基板上에 蒸着시켜서 아모퍼스膜을 製作하고 이 T_c 가 結晶相에 대해서 一般的으로 成立하는 Matthias 法則과는 전혀 다른 舉動을 나타낸다고 말하였다.

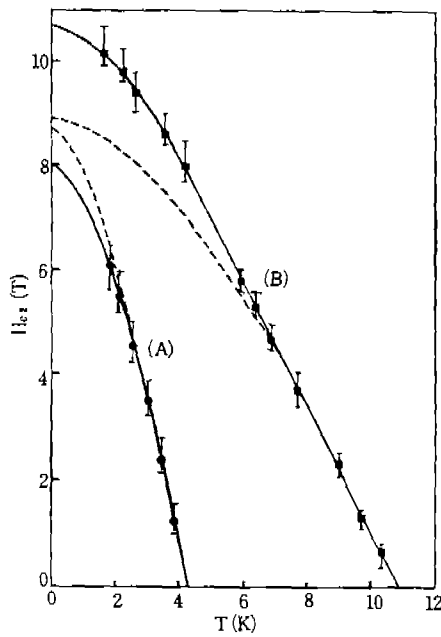
나. 臨界磁界

大部分의 아모퍼스 超電導체는 常電導狀態에서 數百 $\mu\Omega \text{ cm}$ 의 큰 比抵抗 ρ_0 을 갖는다.

이것은 電子의 平均自由行程 ℓ 이 $3 \sim 10 \text{ \AA}$ 이라는 매우 짧은 것을 나타내며 이 結果 아모퍼스 超電導체는 T_c 에 比하여 높은 上部臨界磁界 H_{c2} 를 나타내는 것이 특징이다.

그림 1은 液體急冷으로 얻은 $Zr_{77}Rh_{23}$ 아모퍼스 合金의 $H_{c2}(T)$ 의 測定結果로서 比較하기 위하여 Zr_2Rh 化合物에 대한 結果도 나타낸 것이다.

그림 1에서 아모퍼스의 $H_{c2}(T)$ 近方에서 立上이 結晶狀態에 比하여 큰 것이 주목되며 Weathermer氏의 理論으로부터 $H_{c2}(T)$ 의 立上에서 H_{c2} 의 온도변화를 理論的으로 구할 수 있으며 點線은 스판 軌道散亂 效果를 무시하여 計算한



〈그림 1〉 $Zr_{77}Rh_{23}$ 아모퍼스 合金 (A) 과 Zr_2Rh 化合物 (B) H_{c2} 的 温度变化

것이다.

實測值은 $a=1.6$, $\lambda_{so}=8$ 에相當하였으며 $H_{c2}(T)$ 의 측정은 기타 몇개의 아모퍼스 合金에 대하여 행한 것이다.

2. 아모퍼스 金屬의 磁氣的 性質

아모퍼스 금속(합금)은 實用的이므로 注目을 받고 있다. 즉 피아노線보다 강하고 스텐레스鋼보다 耐蝕性이 우수하며 軟磁氣特性이 좋은 元素를 얻을 수 있기 때문이다.

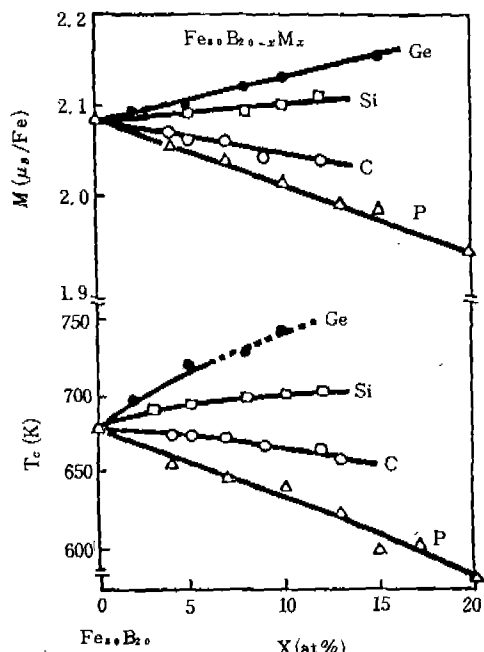
한편 磁氣的 應用의 具體例로서 磁氣 헤드의 코어, 高周波 電子機器 등의 一部에 實用化되고 있으며 에너지 節約의 觀點에서도 注目되고 있다.

磁氣的 性質의 一般的 特徵을 보면 原子 配列

에長距離의規則性이 없어도 아모퍼스合金은強磁性体가 된다는 것이理論的으로豫想되었으며實際로液体急冷法으로製造된아모퍼스Fe-P-C合金에서實證되었다.

液体急冷法으로만들어진아모퍼스磁性合金은強磁性金屬(Fe, Co, Ni)을主成分으로한半金屬(P, B, Si, C等)과의合金(金屬-半金屬系系)이든가또는強磁性金屬과IVa族遷移金屬(Zr, Ti, Hf等)과의合金(金屬-金屬系)이다.

어느것이나強磁性金屬以外에非強磁性元素를적어도10at%을含有하므로飽和磁化가적은데,理由는稀釋效果가있을뿐만아니라強磁性金屬原子1個當磁氣모멘트도減少하기 때문이다.



〈그림 2〉 $Fe_{20-x}B_{20+x}M_2$ 아모퍼스合金의 Fe 原子當平均磁氣 모멘트 \bar{M} 과 쿠리點 T_c 의組成依存性

또한金屬+半金屬系인경우半金屬原子에서強磁性原子로電子가移動하여이것이強磁性에관여하는3d밴드의空席을채운다고解석된다.

한편 $Fe_{20}B_{20-x}M_x$ ($M=Si, C, P, Ge$)에있어서 Fe 原子1個當磁氣모멘트의組成依存性은그림2와같으며 Fe 單體에서1原子當의磁氣모멘트는 $2.2\mu B$ (μB 는보아磁子,電子1個當의磁氣모멘트에相當)인데대해서B를20at%포함한아모퍼스合金에서는 Fe 原子當磁氣모멘트는 $2.08\mu B$ 로매우적다.

또한B를기타半金屬元素로바꾸면P,C에서재차감소되는데Ge,Si로교환하면 Fe 의磁氣모멘트는증가되나체심입방격자(BCC) Fe 의것에는미치지못한다.

아모퍼스合金은飽和磁化(飽和磁束密度)가약간낮고ку리點도낮아應用分野에서弱點을갖고있으나長點을살려서利用하고있다.

아모퍼스合金의우수한 자기적성질을열거하면高透磁率,低損失性및高磁氣歪로集約되는데,用途에따라서成分設計가必要하다.

아모퍼스合金이高透磁性을나타내는理由는原理적으로異方성이없으며磁壁移動의障害가되는粒界나轉位또는介在物등이없기때문에적은磁界의變化에대해서敏感하게反應하게된다.

이와같은構造는交番磁界下에서잃어버린에너지損失(히스테리시스損)을低減하여아모퍼스構造는電氣抵抗이結晶狀態에比해서數倍로높으므로渦電流에의한損失이적고이로인하여高周波가되는등아모퍼스는有利하게된다.

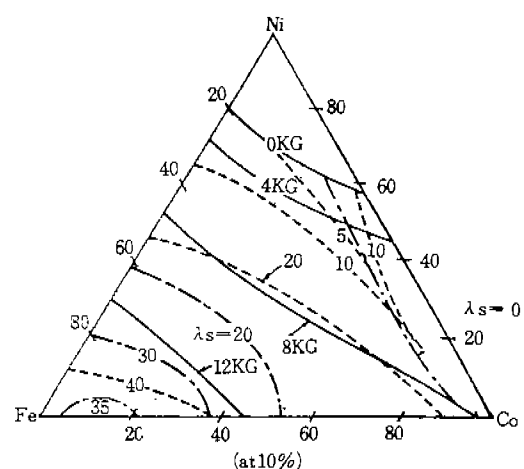
또한組成을選定함으로써磁氣歪曲이큰것을얻을수있으며이組成은巨大한 ΔE 效果와電氣機械結合係數를나타낸다.

즉磁界에附與된彈性率(E)을變化시킨다든

지 적은 應力의 변화를 電氣信號로 變換함으로써 效率을 向上시킬 수 있다.

아모퍼스 合金의 特징을 材料開發의 面에서 본 경우에도 큰 장점이 있는데 한例로서 特性이 조성의 변화에 대해서 광범위한 組成域에서 연속적으로 변화한다는 點이다.

그림 3은 (Fe-Co-Ni)-Si₁₄B₁₄合金에 대해서 磁氣特性의 組成依存性을 나타내며 포화자속밀도(Bs), 보자력(Hc), 포화자왜정수(λ_s)가



〈그림 3〉 (Fe, Co, Ni)-Si₁₄B₁₄合金의 磁氣特性에 관한 組成依存性

廣範圍한 組成에 대해서 연속적으로 變換함을 알 수 있다.

이와 같은 성질은 成分設計인 경우 큰 利點을 갖고 있다. 예를 들면 高透磁率材料가 필요한 경우에는 $\lambda_s = 0$ 근방에 Hc가 적은 Co-Ni 베이스의 組成이 바람직하며 또한 磁氣歪曲이 큰 것을 필요로 하는 것은 Fe이 풍부한 組成을 선택하면 양호하다.

다음에는 아모퍼스 材料를 應用面에서 살펴본다.

가. 高透磁率 및 低保磁力材料의 應用

이 分野는 아모퍼스 合金의 應用面에서 가장 앞선 분야로서 실용화되고 있는 것도 있으며 磁氣 헤드, 直流安定化電源, MM型 카트리지 등의 코아에의 응용은 그 대표적인 예이다.

과거에는 이 분야에서 페르로이(Fe-Ni), 센더스트(Fe-Al-Si), 캐라이트 등이 사용되었으나 高性能화의 요구에 따르지 못하여 아모퍼스 材料가 대두되었다.

磁氣 헤드를 예로 들면 헤드에 요구되는 特性으로서

첫째 포화자속밀도(Bs)가 클 것

둘째 實效透磁率이 크고 保磁力(Hc)가 적을 것

세째 電氣比抵抗이 크고 耐磨耗性이 클 것

海外短信 / 人命을 구하는 自動消火裝置

한 영국회사에 의해 새로 개발된 자동소화장치는 특히 항공기 객실 내의 발화시나 항공기 사고 후 몇분간의 중요한 순간에 불이 번지는 것을 억제해 준다.

비행기 사고시의 상황을 그대로 재현하여 동체 밑에 900ℓ의 등유에 불을 붙인 시험에서 이 자동 소화장치의 안전성이 확인되었다. 동체의 큰 손상에도 불구하고 객실은 거의 손상되지 않았으며, 내부에 탑승했던 관계자들도 무사했다.

세이브 리미티드 시스템에는 물이 이용되는데, 스프레이의 냉각 및 화염 흡수 특징을 극대화시키기 위해 물방울 크기와 속도가 조절되어 있다.

화재 발생 후 3분간은 비행기의 저장수로 불을 끄며, 이후로는 소방관이 바깥 연결통로로 물을 펌프질하여 공급하게 되어 있다. 이 시스템은 고온, 화염 및 유독가스를 처리할 수 있게 설계된 것이다.



네째 耐蝕性이 양호하고 磁歪 (λ_s) 가 적을 것
다섯째 加工性이 좋을 것
등의 要求項目이 많다.

이에 대해서 과거의 퍼밀로이는 세번째가 不充分하며, 센더스트는 다섯번째가 그리고 페라이트는 첫번째가 不良하였다.

또한 磁氣 헤드에 適合한 基本成分으로는 코발트를 母材로 한 $\lambda_s = 0$ 근방의 조성인데, 한 예로서 $Fe_{41}, Co_{0.3}, Si_{1.5}, B_{10}$ 을 들 수 있다.

한편 아모퍼스 材料에 문제점이 없는 것이 아니며 일반적으로 자기특성의 經時變化가 큰 것이 缺點으로서 磁氣 헤드의 경우 組成의 선택과 사용환경의 온도에 유의하면 10年 정도까지는 實用上 문제가 없을 것이다.

나. 高磁束密度 및 低損失材料의 應用

GE社의 Luborsky氏는 1978年에 아모퍼스 合金의 低損失性에 着眼하여 電力用 트랜스에 적용한 경우 큰 利點이 있다고 強調하였다.

그는 미국 전역에 있는 전력용 변압기를 아모퍼스 재료로 대체한다면 연간 2억弗의 막대한 에너지를 절약할 수 있다고 試算하였다.

鐵心材料에는 低損失性(低鐵損) 이외에 機器의 소형화 때문에 高磁束密度가 要求되었으며 아모퍼스 合金의 低鐵損性은 거의 보증되어 있으나 現在 使用되고 있는 硅素鋼板에 比하여 鮑和磁束密度 (B_s) 가 낮은 결점이 있어 成分 開發의 初期는 B_s 를 높이는 데 주로 傾注하였다.

代表的인 高鮑和 磁束密度를 갖는 아모퍼스 合金의 例을 표 3에 나타내었으며 여기서 알 수 있는 것은 高價인 Co을 사용하지 않는 系는 겨우 $1.7T$ (3% 硅素鋼板의 85%)임을 알 수 있다.

그러나 B_s 가 낮은 결정은 에너지 사정에 의해 완화되어 가고 있으며 규소강판의 손실을 적게 하기 위하여 動作磁束密度를 과거보다 낮추어서 사용하는 경우가 많다.

〈표 3〉 代表的인 Fe系 아모퍼스
合金의 磁束密度

	B_s (T)
$Fe_{80}B_{20}$	1.67
$Fe_{82}Si_4B_{12}$	1.65
$Fe_{84}B_{10}C_6$	1.70
$Fe_{82}Si_{2.5}B_{13}C_{2.5}$	1.70
$Fe_{77}Co_9B_8C_4$	1.84
$Fe_{80}P_{13}C_7$	1.40
Fe-3% Si	2.30

요즈음에는 成分開發은 높은 아모퍼스形 性能과 高磁束密度, 低鐵損, 熱的 安定性, 底 코스트 및 良好한 加工性을 目標로 開發을 서두르고 있으며 基本成分系는 Fe-B-Si 또는 Fe-B-Si-C이다.

한편 아모퍼스 合金을 이용한 變壓器의 實機評價도 行하고 있다. 大阪變壓器가 美國 어라이드社製 METGLAS 2605 SC ($Fe_{81}B_{13.5}Si_{3.5}C_2$) 를 使用해서 試作한 10 kVA의 모델 변압기의 성능은 最高級의 硅素板을 사용한 것에 비해 鐵損은 $1/3$ 以下, 勵磁電流는 $1/5$ 以下로 實證되었다.

다. 高磁歪材料

아모퍼스 高磁歪材料는 力學量의 セン서나 트랜스듀서, 超音波 可變遲延線 및 磁歪振動子 등의 應用이 期待되고 있다.

아모퍼스 合金의 鮑和磁歪定數는 Fe가 豐富한 35×10^{-6} 정도의 높은 값을 갖고 있으나 結晶質金屬(Ni, Fe-Al等)이나 페라이트에 比하여는 높은 것이 아니다.

특징을 보면 첫째 應力에 대해서 磁氣 特性은 敏感하게 反應하며, 둘째 應力-磁氣特性의 線型性이 良好하다. 세째 強韌面에서는 거의 完全한 彈性體이며, 세째 彈性波의 減殺가 적다는 것이다.

應用例로는 微小力 센서, 歪曲 센서, 水中の音波檢出, 토크 센서 등의 應力-磁氣效果를 利用한 것과 可變遲延線, 距離 센서, 彈性波 필터, 霜 센서 등 超音波 遲延現象을 利用한 것이 있다.

라. 材料特性

現在 아모퍼스 金屬의 構造는 아직 明確하지 않으나 定性的으로 다음과 같은 현저한 구조상의 特징을 갖고 있다고 말할 수 있다.

첫째 各 原子間에는 보다 等方의인 金屬結合이 作用하여 理想的으로는 單純한 구조를 갖고 있다.

둘째 巨視的으로는 均質로서 等方의인 構造를 갖고 있으며 結晶에서 볼 수 있는 構造異方性과 組成異方性, 組成偏析 및 結晶性缺陷(粒界, 轉位, 面缺陷 등)이 없다.

세째 原子의 近接配位는 結晶과는 거의 같으며 金屬性質을 維持한다.

아모퍼스 金屬의 諸性質을 고려할 때 上記와 같은 點을 생각하여야 하며 中요한 特징은 아모퍼스 금속이 항상 2元素 以上의 合金이며 이들의 諸원소가 均一하게 分散된 一種의 固溶体라는 것이다.

즉, 아모퍼스化가 容易한 合金은 平衡狀態에 서는 多相組織이 되며 單相이 되지 않는다.

現實的으로 얻어지는 아모퍼스 金屬은 液體狀態보다도 한층 短範圍 秩序성이 發達되어 있으며 密度는 結晶狀態보다 1%정도 적다.

따라서 短範圍構造가 크게反映되는 性質인 경우에는 結晶에 매우 類似한 性質을 나타내나 長範圍構造가反映하는 性質의 경우에는 結晶과는 현저히 다른 性質을 나타낼 可能性이 있다.

3. 아모퍼스 金屬의 热的 性質

熱膨脹은 原子間 포тен셜의 非調和性으로 인하

여 發生되며 이것은 結晶金屬·合金과 똑같이 크다.

그런데 磁性合金의 경우 鐵基 아모퍼스 메탈과 같이 热膨脹을 打消할 정도로 큰 磁性發生에 起因하는 自發體積磁歪가 存在하는 것도 있다.

즉 온도가 变動해도 거의 热膨脹이 생기지 않는 인버 특성을 나타낸다.

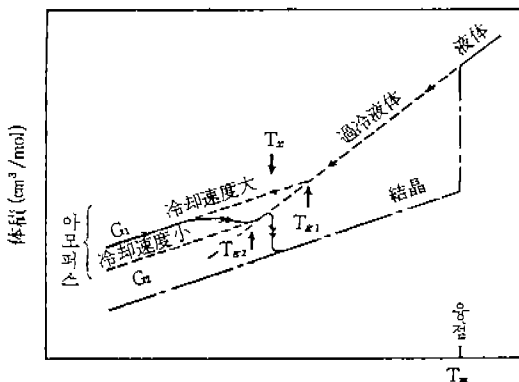
이와 같은 特성을 갖는 합금은 制御機器, 計測機器材料로서 注目되고 있다.

熱的 安定性을 보면 根本的으로 热에 대해서 構造가 不安定하여 이로 因하여 性質의 安定性도 나쁘게 되는데 이것은 主로 構造緩和와 結晶化에 起因하기 때문이다.

그림 4는 이와 같은 現象을 定性的으로 나타낸 것으로서 아모퍼스 固體는 液體(L)를 急冷해서 結晶의 核發生과 成長을 抑制하며 글라스 轉移溫度 T_g 以下로 내릴 수 있게 된다.

이 T_g 는 冷却速度에 依存하여 速度를 크게 하면 $T_{g2} \rightarrow T_{g1}$ 으로 上昇하는데, 이것은 冷却中에 過剩의 空隙과 自由體積을 남겨 두고 그대로 固体化하기 때문이다.

한편 아모퍼스相 G_1 은 冷却速度가 낮은 相 G_2 보다 密度가 적어지며 따라서 이 G_1 相을 가열하면 精凝시에 도입된 여분의 自由體積이 消滅되



〈그림 4〉 아모퍼스 金屬의 体積溫度變化와 T_g , T_x 와의 관계

어 보다 안정된 G_2 상태로 移行하게 되는데 이것이 構造緩和現象인 것이다.

따라서 보다 性質을 安定히 하기 위해서는 冷却한 후에 結晶화하는 온도 이하로 한번 烧純해서 處理해야 한다.

또한 아모퍼스 금속은 酸化物 유리와 比較해서 原子의 擴散이 일어나기 쉽고 結晶화온도 T_x 가 낮기 때문에 많은 合金은 構造緩和後 T_g 보다 低温에서 結晶화를 끝낸다.

오히려 T_x 보다 저온에서 열처리로서 구조완화 이외에 短範圍秩序化, 相分離, 클러스터 생성 등과 같이 미세한 구조변화나 금냉 응고시에 유도되는 内部歪의 緩和 등 複雜한 現象이 交錯해서 일어난다.

또한 強磁性 아모퍼스 合金에 있어서 큐리點以下에서 誘導磁氣異方性(一種의 規則化)의 發生이 일어나며 이와 같은 現象은 아모퍼스 合金의 熱的 安定性에 重要한 問題가 되고 있다.

가. 彈性 및 電氣抵抗 特性

彈性特性의 温度依存性도 역시 原子間 포텐셜의 非調和性에 起因하는데 아모퍼스 金屬에 있어서도 역시 온도 의존성을 볼 수 있다.

보통 온도가 상승하면 영(Young)率은 적어지나 鐵基 아모퍼스 금속인 경우에는 자성의 발생에 기인하는 큰 4E효과에 의해서 이와 같은 온도 의존성이 打消되어 外部磁場이 零이 되는 소위 에린바 物性을 나타낸다.

이와 같은 특성은 電磁機器, 通信機器 등 널리 利用되는 遲延線에의 應用으로 注目되고 있다.

한편 電氣的 性質을 보면 아모퍼스 금속은 結晶에 比較해서 約 1桁 근방에서 전기 저항이 높고 온도계수가 적은 것이 특징이다.

이와 같은 성질은 透磁率의 周波數 특성을 改善하여 또한 變壓器磁心의 涡電流 損失을 輕減하는 效果를 갖고 있다.

이로 因하여 抵抗率의 温度係數가 적고 組成에 의해서 零의 係數가 얻어지므로 標準 抵抗材

料나 磁氣抵抗 센서材料로서 利用되고 있다.

最近 아모퍼스 超電導性이 注目되고 있으며 Mo合金과 Nb合金 등의 系에서는 低温에서 超電導性을 나타낼 수 있으며 아모퍼스 超電導材料로서 有用性이 檢討되고 있다.

現在 最高의 遷移溫度 T_c 는 약 9K이나 有利한 性質로서 臨界磁場 H_c 가 크며 T_c 의 中性子照射效果가 적다는 것으로 알려져 있다.

反面에 臨界電流密度 J_c 는 磁束線의 不均一組織이 없기 때문에 매우 적은데 이와 같은 缺點은 아모퍼스 相中에서 미세한 結晶粒子를 析出함으로써 解決될 수 있다.

나. 化學的 性質

耐蝕性은 材料特性中에서도 重要한 性質이다. 보통 스텐레스鋼에서는 크롬이나 몰리브덴을 添加해서 表面에 不動態膜을 形成시키고 耐蝕性을 向上시키나 아모퍼스 金屬인 경우에도 不動態膜形成元素를 첨가함으로써 耐蝕性을 현저히 부여할 수 있다.

한편 FeCr 合金에서는 크롬 量을 증가시켜도 塩酸溶液中에서 거의 耐蝕性이 向上되지 않으나 아모퍼스 合金에서는 組成에 의해서 현저한 耐蝕性의 증가를 나타냈으며 특히 鐳을 包含한 合金에서 크롬과 몰리브덴의 첨가가 가장 有效하였다.

예을 들면 아모퍼스 $FeCrP_{15}C_7$ 합금인 경우 약 8原子%의 크롬 첨가로 腐蝕速度는 검출되지 않았으나 Hastellog 合金보다도 우수한 耐蝕性을 나타냈다.

이에 反해서 니켈, 코발트의 첨가는 거의 효과가 없었으며 $Fe_{40}Cr_{25}Mo_{15}P_{15}O_7$ 아모퍼스 합금은 60°C의 12N 塩酸溶液中에도 不動態化되어 充分한 耐蝕性을 나타냈다.

이와 같은 아모퍼스 합금의 高耐蝕性은 酸性, 中性, 알칼리性의 全溶液中에서도 볼 수 있으며 間隙腐蝕에 대한 抵抗이 매우 높은 特징을 갖고

있다.

또한 아모퍼스 금속은 결정에서 볼 수 있는 粒界, 格子缺陷 등의 構造上 不均一性이나 偏析 등組成上의 不均一性이 없으며 化學的으로도 均一한 物質로 生覺되고 있다.

以外에 不動態膜形成元素를 包含한 경우에는 表面의 化學的活性度가 높은데 최근에는 이 성질을 이용해서 촉매 반응의 연구가 행하여지고 있다.

표 4는 아모퍼스 $Fe_{10}Ni_{40}P_{20}$ 합금을 이용해서 一酸化炭素의 水素化 反應에 대한 촉매 특성을 나타낸 것으로서 CO가스의 水素化反應率은 結晶相에 比較해서 아모퍼스相 쪽이 210倍가 되었으며 에틸렌 등의 長鎖炭化水素의 生成率은 結晶의 約 3倍였다.

한편 反應 가스中의 CO가스分压을 증가시킨 바 長鎖炭化水素의 生成을 증가시키는 경향을 나타냈는데 이와같은 아모퍼스相의 촉매 특성에 대한 효과의 원인에 대해서는 아직 명확하지 않으나 相에 대한 표면활성화가 결정표면과는 상당히 다를 가능성이 있어 앞으로 흥미있는 연구과제가 될 것이다.

4. 結論

〈표 4〉 $Fe_{20}Ni_{40}P_{20}$ 합금의 아모퍼스相 및 結晶相의 CO가스 水素化反應의 活性과 選擇性

	아모퍼스	結晶
CO 反應率 (%) (比活性)	2.84 (210)	0.0135 (1)
에틸렌, 에탄, 프로필렌 프로판에의 선택성 (%)	38	13
触媒 BET 表面積 (m^2/g)	0.37	0.33
反應條件 (260°C : 1atm : CO 1.26%, 全流量 30ml/min; 触媒 1g)		

아모퍼스 固体의 매력은 構造에 있으며 이 分野의 研究가 활발히 進行된 것은 1970年代 以後이다.

또한 工業用材料로서 期待되기 시작한 것은 4 ~ 5年에 不過하다. 本稿에서 解說한 内容은 一部에 지나지 않으며 이 特殊한 金屬은 既存 金屬材料에서 蓄積된 知識으로 理解할 수 없는 性質을 갖고 있다.

한편 超電導 마그넷의 應用은 核融合爐, 電氣機械 및 에너지 賯藏 등과 같은 大規模化에 連結되어 있으며 大形 마그넷內의 強力한 電磁應力에 의한 特性劣化나 核融合爐에서의 中性子損傷에 대한 對策 등이 問題가 되고 있다.

또한 아모퍼스는 一般的으로 高强度로서 比較的 큰 變形能을 갖고 있으며 中性子照射에 대해 서도 $10^{18} n/cm^2$ 까지 超電導特性의劣化가 전혀 없다고 報告되었다.

따라서 이와 같은 아모퍼스의 우수한 特징을 살린 超電導線材가 製造될 것으로 展望된다.

그러나 현재까지의 아모퍼스 最高의 T_c 는 Mo - Re의 約 9.5K이며 H_{c2} (4.2K)는 約 12T 정도로 예상되므로 Nb-Ti合金材와는 거의 같은 정도의 성능을 갖는데 불과하다.

따라서 超電導線材로서 使用하기 위하여는 T_c , H_{c2} 를 改善하는 것이 바람직하여前述한 아모퍼스 그대로는 J_c 가 낮기 때문에 部分的으로는 結晶화시켜서 이것을 편停止點으로 하는 것이 講究되어야 할 것이다.

그리고 아모퍼스 超電導體를 조셉슨 素子에 應用하는 研究도 行하여지고 있다. 從來 조셉슨 素子材로서 Nb가 安定하여 많은 研究를 하고 있으나 表面酸化膜 등 實用的으로 未解決點이 많다.

따라서 장차 基礎와 應用 兩面에서의 研究와 더불어 새로운 性質이나 應用이 期待될 것이다.

(1) 제작인력 (11명)
책임 프로듀서 1, 프로듀서 1, 디렉터 1,
어시스턴트 디렉터 2, 제작보조 1, 문자발생
기 담당 2, 슬로모션 담당 3.

(2) 기술인력 (37명)
기술감독 1, 영상담당 2, 녹화담당 2, 카
메라맨 15, 카메라 보조 4, 음향담당 3, 음향
보조 4, 마이크맨 1, 총출담당 1, 보수담당
1, 장비보관담당 2.

다. 주요제작장비 및 방송설비

(1) 쟁계차 주차시설

Control Room 1, 주차공간 980m²

(2) 해설자석 (Desk) (135석)

① KBS·MBC-Radio 2, TV 3

② NBC : Radio 1

③ NHK : 6

④ EBU : Equip. 67, Non-Equip. 4

⑤ NET-10 : Radio 2, Equip. 3, Non
Equip. 1

⑥ OIRT : Radio 6, Equip. 6, Non
Equip. 1

⑦ OTI : Equip. 7

⑧ ABU : Equip. 9

⑨ CBC : Equip. 4, Non Equip. 1

⑩ ETC : Equip. 10, Non Equip. 2 (석)

(3) 참관자석 (Observer Seat) : 150석

(4) Moniter System :

① CATV : 135/40대

② Data Moniter : 135대

(5) 카메라

① H·B용 : 22대

② UNI용 : 34대

③ 고정 : 6 대

④ 이동 : 2 대

⑤ 특수 : RC (Remote Camera) 1, RF

(Radio Frequency Camera) 1, SS
(Supper SLO-MO Camera) 1, SC
(Shutter Camera) 1 (대)

(6) 카메라 Platform : 27개소

(7) ENG 카메라 : 20대

(8) 녹화기 : VCR 2 대

(9) SLO-MO : 4 (Super SLO-MO 1 대 포
함)

(10) 문자발생기 : 1 대

5. 결 어

변화의 속도는 우리 시대의 가장 특징적인 현
상이다. 경제발전, 기술적 진보, 인구증가, 첨
단제품의 끝없는 개발 등은 사람들의 사고방식
까지 새로운 차원으로 물고 간다. 정신적으로는
낡은 것에서 새로운 것으로, 보수적인 것에서
혁신적인 것으로, 전통적인 것에서 현대적인 것
으로, 전통적인 것에서 현대적인 것으로, 과거
의 개념에서 미래의 개념으로 전환해 가고 있는
것이다. 따라서 시대적인 문제점 역시 과거의
것에서부터 미래의 문제점으로 새롭게 대두되고
있다.

전기설비도 그 시대의 일반적인 경향을 따른
다. 우리나라 전기설비 역시 전환의 과정에 있
어야 될 것이다. 각종 플랜트 설비의 출현과 고
충전율, 고급전율의 등장 등 그 진보는 과거보
다 훨씬 강력하고 신속하기 때문이다. 전기설비
의 채택 양식이 더자인 감각의 수준향상과 급속
한 기술의 진전으로 올림픽 경기장 뿐 아니라 건
물의 전기설비 면에서도 많은 비중을 차지하게
되었다.

따라서 금번 제24회 서울올림픽대회를 계기로
기술계에도 획기적인 변화가 일어나 기술개발,
기술축적, 기술혁신의 올림픽이 되었으면 하는
바램이다.